

Analyse d'expression différentielle pour un séquençage de l'ARN avec edgeR

12 décembre 2025

Table des matières

1 Résumé	1
2 Introduction	2
3 Méthodologie	2
3.1 Introduction	2
3.2 Téléchargement des données	2
3.3 Création d'un objet <i>DGEList</i>	2
3.4 Annotation	2
3.5 Filtration	3
3.6 Normalisation	4
4 Résultats et discussions	4
4.1 Exploration des données	4
4.2 Matrice de design	5
4.3 Dispersion BN des données	6
4.4 Expression differential des gènes	7
4.5 Gene Ontology Analysis	8
5 Conclusion	9
6 Références	9

1 Résumé

edgeR peut être utilisé pour l'identification des gènes exprimés différemment. Nous allons procéder à une analyse des données issues d'une expérience de « *paired design RNA-seq* » de tissus tumoraux et non tumoraux (normaux). Nous ferons référence à une étude (1) portant sur des carcinomes épidermoïdes buccaux et des tissus normaux correspondants provenant de trois patients. Nous utiliserons edgeR pour détecter les gènes dont l'expression diffère entre ces deux types de tissus.

2 Introduction

Le séquençage de l'ARN (*RNA-seq*) est une méthode permettant de séquencer un ensemble de molécules d'ARN. Le séquençage d'ARN est utilisé pour déterminer quels segments d'ADN ont été transcrits en ARN et la quantité un gène est exprimé, afin de mieux comprendre la fonction des différents gènes (2).

edgeR est un package R conçu pour l'analyse d'expression différentielle des données de « *RNA-seq count* ». Il peut détecter des différences entre deux groupes ou plus quand au moins un des groupes a effectué des mesures répétées (3).

3 Méthodologie

3.1 Introduction

3.2 Téléchargement des données

Nous commençons par charger les *libraries* pertinentes.

```
library(org.Hs.eg.db)
library(limma)
library(edgeR)
```

Les données sont téléchargées du **DOI** (*the Digital Object Identifier*). Avant de lire les données, nous avons supprimé les colonnes qui n'étaient pas pertinentes pour notre étude. Nous avons également renommé certaines colonnes (`idRefSeq` à `RefSeqID`, `nameOfGene` à `Symbol`, `numberOfExons` à `NbrOfExons`).

```
rawdata <- read.delim("TableS1.txt", check.names = FALSE, stringsAsFactors = FALSE)
head(rawdata, 3)
```

```
##      RefSeqID     Symbol NbrOfExons    8N 8T   33N 33T   51N 51T
## 1 NM_182502 TMPRSS11B         10 2592   3 7805 321 3372    9
## 2 NM_003280 TNNC1           6 1684   0 1787    7 4894 559
## 3 NM_152381 XIRP2          10 9915 15 10396   48 23309 7181
```

3.3 Crédation d'un objet *DGEList*

Nous stockerons nos données dans l'objet *DGEList* pour faciliter leur manipulation. Cet objet, conçu spécifiquement pour *edgeR*, peut être manipulé comme une liste. *DGEList* est une structure de données qui comprend toutes les composantes nécessaires (une matrice *counts* contenant les integer *counts*, un data-frame *samples* contenant des informations sur les échantillons et les librairies, et un data-frame *genes* contenant des annotations sur les gènes) dans un seul objet (4).

```
y <- DGEList(counts = rawdata[,4:9], genes = rawdata[,1:3])
```

3.4 Annotation

L'étude (1) a été réalisée en 2010 ; par conséquent, certains des *RefSeqIDs* ne sont plus utilisés. Nous filtrons les *RefSeq IDs* qui ne sont plus disponibles dans l'annotation actuelle du **NCBI** (fournie par le package `org.Hs.eg.db`).

```

idfound <- y$genes$RefSeqID %in% mappedRkeys(org.Hs.egREFSEQ)
y <- y[idfound,]
dim(y) # 15534 sur 15668 RefSeqIDs sont retenus

```

```
## [1] 15533      6
```

Entrez Gene IDs sont les identifiants numériques uniques attribués aux gènes par le NCBI (5). Pour chaque gène, *Entrez Gene* donne des détails tels que le nom du gène et sa localisation chromosomique. Nous ajoutons les *Entrez Gene IDs* à l'annotation.

```

egREFSEQ <- toTable(org.Hs.egREFSEQ)
head(egREFSEQ, 3)

```

```

##   gene_id accession
## 1      1 NM_130786
## 2      1 NP_570602
## 3      2 NM_000014

m <- match(y$genes$RefSeqID, egREFSEQ$accession)
y$genes$EntrezGene <- egREFSEQ$gene_id[m]

```

Ensuite, nous mettons à jour `symbol` en utilisant les *Entrez Gene IDs*.

```

egSYMBOL <- toTable(org.Hs.egSYMBOL)
head(egSYMBOL, 3)

```

```

##   gene_id symbol
## 1      1 A1BG
## 2      2 A2M
## 3      9 NAT1

m <- match(y$genes$EntrezGene, egSYMBOL$gene_id)
y$genes$Symbol <- egSYMBOL$symbol[m]
head(y$genes, 3)

```

```

##   RefSeqID     Symbol NbrOfExons EntrezGene
## 1 NM_182502 TMPRSS11B          10    132724
## 2 NM_003280 TNNC1             6     7134
## 3 NM_152381 XIRP2            10    129446

```

3.5 Filtration

Plusieurs transcrits *RefSeq* correspondent au même gène. Nous ne gardons qu'un seul transcrit *RefSeq* (celui avec le `count` le plus élevé) pour chaque gène.

```

o <- order(rowSums(y$counts))
y <- y[o,]
d <- duplicated(y$genes$Symbol)
y <- y[!d,]
nrow(y)

```

```
## [1] 10510
```

Tous les transcrits se retrouvent au moins 50 fois dans au moins un des 6 cas, donc ce n'est pas nécessaire de filtrer les gènes qui sont faiblement exprimés.

Ensuite, nous recalculons la taille du `library`.

```
y$samples$lib.size <- colSums(y$counts)
```

Et nous utilisons les *Entrez Gene IDs* comme les noms de lignes.

```
rownames(y$counts) <- rownames(y$genes) <- y$genes$EntrezGene  
y$genes$EntrezGene <- NULL
```

3.6 Normalisation

La normalisation permet d'éliminer les effets techniques présents dans les données afin de minimiser l'impact des biais techniques sur les résultats (6,7). Nous utilisons la fonction `normLibSizes()` qui utilise la normalisation *TMM* (*trimmed mean of M-values*) pour tenir compte des différences de composition entre les *libraries*.

```
y <- normLibSizes(y)  
y$samples
```

```
##      group lib.size norm.factors  
## 8N       1  7397598   1.1542497  
## 8T       1  7124442   1.0619357  
## 33N      1 15260793   0.6556112  
## 33T      1 13651143   0.9484143  
## 51N      1 19318441   1.0892960  
## 51T      1 14382783   1.2045134
```

4 Résultats et discussions

4.1 Exploration des données

Nous voulons voir s'il existe des valeurs aberrantes ou d'autres corrélations dans notre échantillon. La fonction `plotMDS` produit un plot dans lequel les distances entre les échantillons représentent approximativement les différences d'expression (8).

Sur le plot (**figure 1**), la dimension 1 sépare les échantillons tumoraux des échantillons normaux et la dimension 2 correspond au numéro du patient. On peut observer que les échantillons non tumoraux sont proches les uns des autres, tandis que les échantillons tumoraux sont plus espacés. Donc, les échantillons tumoraux sont plus hétérogènes que les échantillons normaux.

```
plotMDS(y)
```

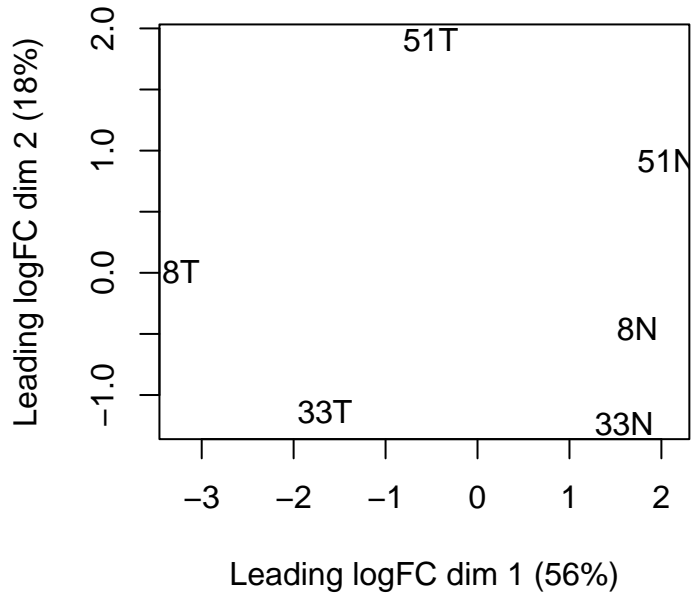


Figure 1: plotMDS(y)

4.2 Matrice de design

Ensuite, nous voulons tester l'expression différentielle entre les tissus tumoraux et les tissus normaux chez les patients.

```
Patient <- factor(c(8, 8, 33, 33, 51, 51))
Tissue <- factor(c("N", "T", "N", "T", "N", "T"))
data.frame(Sample = colnames(y), Patient, Tissue)
```

```
##   Sample Patient Tissue
## 1     8N      8      N
## 2     8T      8      T
## 3    33N     33      N
## 4    33T     33      T
## 5    51N     51      N
## 6    51T     51      T
```

```
design <- model.matrix(~Patient+Tissue)
rownames(design) <- colnames(y)
design
```

```
## (Intercept) Patient33 Patient51 TissueT
## 8N          1        0        0       0
## 8T          1        0        0       1
## 33N         1        1        0       0
```

```

## 33T      1      1      0      1
## 51N      1      0      1      0
## 51T      1      0      1      1
## attr(,"assign")
## [1] 0 1 1 2
## attr(,"contrasts")
## attr(,"contrasts")$Patient
## [1] "contr.treatment"
##
## attr(,"contrasts")$Tissue
## [1] "contr.treatment"

```

4.3 Dispersion BN des données

Pour comprendre la variabilité biologique, nous estimons la dispersion globale du *dataset*.

```

y <- estimateDisp(y, design, robust = TRUE)
y$common.dispersion

```

```
## [1] 0.1613756
```

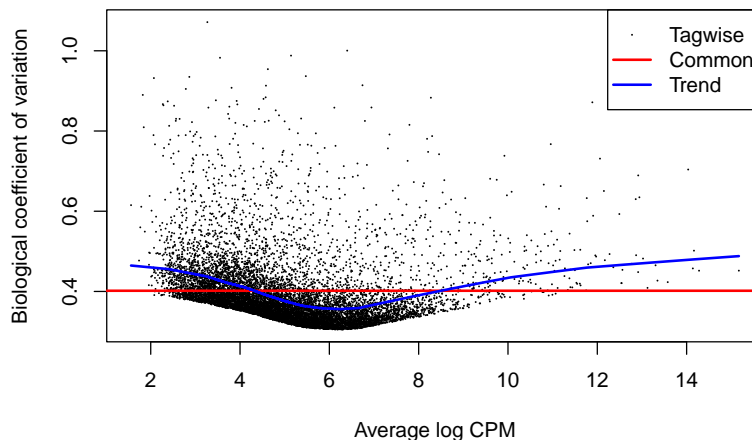
La racine carrée du *common dispersion*, 0.1613, nous donne le BCV (biological coefficient of variation), 0.402.

```

sqrt(y$common.dispersion) # BCV
## [1] 0.4017158

plotBCV(y)

```



4.4 Expression differential des gènes

Nous utilisons la fonction `glmFit` (fits negative binomial generalized log-linear model to each genes read count.)

```
fit <- glmFit(y, design)
```

Ensuite, la fonction `glmLRT` est utilisée pour effectuer des *likelihood ratio tests* pour les différences entre le tissu tumoral et le tissu normal.

```
lrt <- glmLRT(fit)
```

Nous utilisons la fonction `topTags` pour voir les résultats.

```
topTags(lrt)
```

```
## Coefficient: TissueT
##      RefSeqID Symbol NbrOfExons    logFC    logCPM       LR     PValue      FDR
## 5737  NM_000959 PTGFR      3 -5.201023 4.822267 100.46226 1.206744e-23 1.268288e-19
## 5744  NM_198966 PTHLH      4  3.881888 5.820335  84.29578 4.260245e-20 2.238759e-16
## 1288  NM_001847 COL4A6     45  3.710900 5.709635  78.26706 9.001057e-19 3.153370e-15
## 10351 NM_007168 ABCA8     38 -3.996432 5.022051  77.53105 1.306522e-18 3.432885e-15
## 5837  NM_005609 PYGM      20 -5.495113 6.075033  74.74014 5.369333e-18 1.128634e-14
## 487   NM_173201 ATP2A1     22 -4.623578 6.040006  73.58113 9.658372e-18 1.691825e-14
## 27179 NM_014440 IL36A     4  -6.178402 5.486198  72.16644 1.977909e-17 2.969689e-14
## 196374 NM_173352 KRT78     9 -4.258876 7.697534  70.84623 3.861808e-17 5.073451e-14
## 6387  NM_199168 CXCL12     3 -3.717669 5.864198  68.91229 1.029414e-16 1.202127e-13
## 83699 NM_031469 SH3BGRL2     4 -3.947822 5.622290  68.36318 1.359935e-16 1.429291e-13
```

```
colnames(design)
```

```
## [1] "(Intercept)" "Patient33"    "Patient51"    "TissueT"
```

```
o <- order(lrt$table$PValue)
cpm(y)[o[1:10],]
```

```
##          8N        8T       33N       33T       51N       51T
## 5737 53.286956 0.9252284 28.28544 0.926860 82.448258 2.59751429
## 5744 5.387253 78.1157149 10.59455 133.854037 5.940076 104.07373912
## 1288 11.945647 137.0659837 6.19681 96.470682 4.514458 57.26075940
## 10351 56.449039 3.3043873 41.77849 2.239912 83.636273 6.34947937
## 5837 163.842749 2.9078608 126.63482 1.235813 103.167244 5.94542159
## 487  114.537676 3.3043873 155.12015 4.016393 107.634181 9.29332890
## 27179 42.980907 1.3217549 182.30616 3.475725 38.111529 0.05772254
## 196374 399.125153 21.9411314 615.48318 50.436634 153.206446 4.73324826
## 6387  63.827233 3.0400363 68.46476 6.179067 188.514259 17.95170985
## 83699 103.177600 5.4191951 124.03615 5.715637 50.894573 5.65680889
```

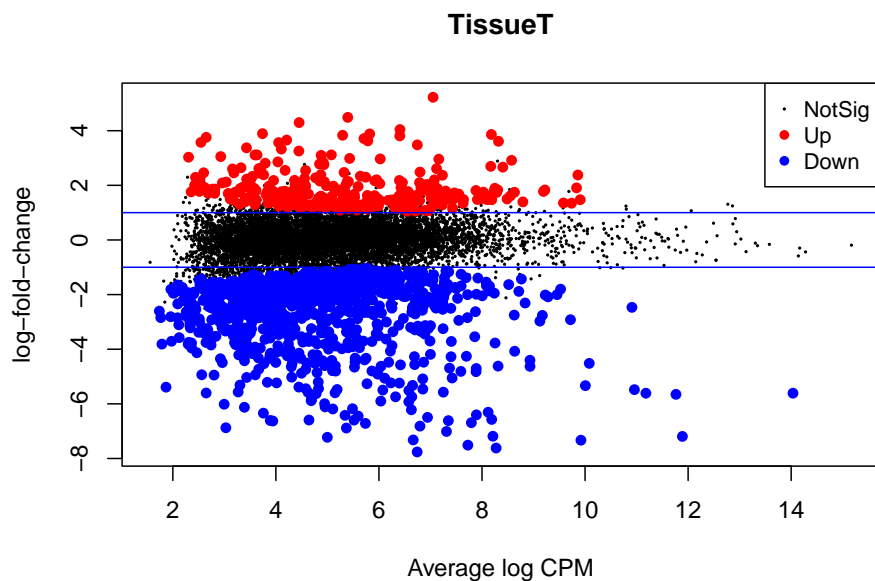
```
summary(decideTests(lrt))
```

```

##      TissueT
## Down     946
## NotSig   9243
## Up       321

plotMD(lrt)
abline(h=c(-1, 1), col="blue")

```



4.5 Gene Ontology Analysis

```

go <- goana(lrt)
topGO(go, ont="BP", sort="Up", n=10, truncate=45)

```

	Term	Ont	N	Up	Down	P.Up	P.Down
## GO:0022008	neurogenesis	BP	1083	74	120	1.277061e-11	7.917927e-03
## GO:0009888	tissue development	BP	1294	82	199	3.631218e-11	1.150777e-15
## GO:0007399	nervous system development	BP	1556	92	162	7.160014e-11	2.115949e-02
## GO:0007155	cell adhesion	BP	945	63	160	1.687833e-09	2.547931e-16
## GO:0048513	animal organ development	BP	1850	99	267	2.914578e-09	1.359572e-17
## GO:0048731	system development	BP	2433	120	309	4.077632e-09	1.454654e-12
## GO:0060429	epithelium development	BP	771	54	96	5.630044e-09	5.315945e-04
## GO:0007275	multicellular organism development	BP	2857	134	336	7.638940e-09	2.317471e-09
## GO:0048699	generation of neurons	BP	913	60	103	7.739626e-09	8.254978e-03
## GO:0030154	cell differentiation	BP	2603	125	324	8.483777e-09	4.414787e-12

```

go <- goana(lrt)
topGO(go, ont="BP", sort="Down", n=10, truncate=45)

```

	Term	Ont	N	Up	Down	P.Up	P.Down
--	------	-----	---	----	------	------	--------

```

## GO:0003012          muscle system process    BP   278   6   103 8.572576e-01 7.674966e-39
## GO:0006936          muscle contraction      BP   208   5   84 7.664698e-01 5.304959e-35
## GO:0003008          system process        BP   963   44  198 4.263559e-03 1.740569e-31
## GO:0055001          muscle cell development  BP   152   3   67 8.480195e-01 7.743519e-31
## GO:0055002          striated muscle cell development  BP   129   3   59 7.592912e-01 2.467449e-28
## GO:0042692          muscle cell differentiation  BP   297   7   89 8.077281e-01 9.232699e-26
## GO:0061061          muscle structure development  BP   485   12  119 8.128848e-01 1.505117e-25
## GO:0051146          striated muscle cell differentiation  BP   218   6   73 6.595613e-01 1.581137e-24
## GO:0030239          myofibril assembly      BP   60    0   36 1.000000e+00 5.292179e-23
## GO:0032501          multicellular organismal process  BP   3975  163  497 1.102136e-06 3.932672e-22

```

5 Conclusion

6 Références

1. Tuch BB, Laborde RR, Xu X, Gu J, Chung CB, Monighetti CK, et al. Tumor transcriptome sequencing reveals allelic expression imbalances associated with copy number alterations [Internet]. 2010. Available from: <https://journals.plos.org/plosone/article?id=10.1371/journal.pone.0009317#abstract0>
2. Ian C. Nova PhD. RNA-seq (RNA sequencing) [Internet]. 2025. Available from: <https://www.genome.gov/genetics-glossary/RNA-seq>
3. Robinson MD, McCarthy DJ, Smyth GK. edgeR: A bioconductor package for differential expression analysis of digital gene expression data. [Internet]. 2009. Available from: <https://pmc.ncbi.nlm.nih.gov/articles/PMC2796818/>
4. DGEList: DGEList constructor [Internet]. 2025. Available from: <https://www.rdocumentation.org/packages/edgeR/versions/3.14.0/topics/DGEList>
5. Maglott D, Ostell J, Pruitt KD, Tatusova T. Entrez gene: Gene-centered information at NCBI [Internet]. 2007. Available from: <https://pmc.ncbi.nlm.nih.gov/articles/PMC1761442/>
6. Robinson MD, Oshlack A. A scaling normalization method for differential expression analysis of RNA-seq data [Internet]. 2010. Available from: <https://pmc.ncbi.nlm.nih.gov/articles/PMC2864565/>
7. Singh V, Kirtipal N, Song B, Lee S. Normalization of RNA-seq data using adaptive trimmed mean with multi-reference [Internet]. 2024. Available from: <https://pmc.ncbi.nlm.nih.gov/articles/PMC11107385/#:~:text=Abstract,characteristic%20curve%20and%20differential%20expression>.
8. plotMDS.DGEList: Multidimensional scaling plot of distances between digital gene expression profiles [Internet]. 2025. Available from: <https://www.rdocumentation.org/packages/edgeR/versions/3.14.0/topics/plotMDS.DGEList>
9. Chen Y, McCarthy D, Baldoni P, Ritchie M, Robinson M, Smyth G. edgeR: Differential analysis of sequence read count data. User's guide [Internet]. 2025. Available from: <https://www.bioconductor.org/packages/release/bioc/vignettes/edgeR/inst/doc/edgeRUsersGuide.pdf>
10. Dunning M, Pereira B, Rueda O, Santiago ID, Samarajiwa S. Differential expression analysis using edgeR [Internet]. 2015. Available from: <https://bioinformatics-core-shared-training.github.io/cruk-bioinf-sschool/Day3/Supplementary-RNAseq-practical.pdf>